

Homografia

Anderson Rocha

1 Quando usar homografia

Use a homografia H quando:

- A cena é **plana** (ex.: fachada, página, chão), ou
- A câmera faz **pura rotação** (sem translação/paralaxe significativa).

2 Notação básica

Um ponto na imagem 1: (x, y) em coordenadas homogêneas

$$\mathbf{p} = [x, y, 1]^T.$$

Correspondente na imagem 2: (x', y') com

$$\mathbf{p}' = [x', y', 1]^T.$$

A homografia H satisfaz:

$$\mathbf{p}' \sim H \mathbf{p}.$$

Escrito em coordenadas:

$$x' = \frac{h_{11}x + h_{12}y + h_{13}}{h_{31}x + h_{32}y + h_{33}}, \quad y' = \frac{h_{21}x + h_{22}y + h_{23}}{h_{31}x + h_{32}y + h_{33}}.$$

3 Montando o sistema (DLT puro)

Para cada correspondência $(x, y) \rightarrow (x', y')$, geramos duas equações lineares na forma $A\mathbf{h} = 0$, onde \mathbf{h} é o vetor com os 9 elementos de H . Podemos fixar $h_{33} = 1$ ao final para remover a ambiguidade de escala.

As duas linhas em A são:

$$\begin{bmatrix} x & y & 1 & 0 & 0 & 0 & -xx' & -yx' & -x' \\ 0 & 0 & 0 & x & y & 1 & -xy' & -yy' & -y' \end{bmatrix}.$$

Com n pares, A terá dimensão $2n \times 9$. Mínimo: 4 pares (8 equações) para resolver H .

4 Normalização antes do DLT (recomendado)

Motivação

Sem normalização, pontos com coordenadas grandes (ex.: milhares de pixels) deixam A mal-condicionada, tornando a SVD instável.

Passos para normalizar os pontos

Para cada conjunto de pontos (imagem 1 e imagem 2), construa T como:

1. **Centralização:** leve o centróide para a origem.

$$\bar{x} = \frac{1}{n} \sum x_i, \quad \bar{y} = \frac{1}{n} \sum y_i$$

Substitua $x \leftarrow x - \bar{x}$, $y \leftarrow y - \bar{y}$.

2. **Escala:** faça a distância média ao centro ser $\sqrt{2}$.

$$d = \frac{1}{n} \sum_i \sqrt{x_i^2 + y_i^2}, \quad s = \frac{\sqrt{2}}{d}$$

Aplique: $x \leftarrow sx$, $y \leftarrow sy$.

3. **Matriz de normalização:**

$$T = \begin{bmatrix} s & 0 & -s\bar{x} \\ 0 & s & -s\bar{y} \\ 0 & 0 & 1 \end{bmatrix}$$

Uso

- Aplique T aos pontos da imagem 1 e T' aos da imagem 2.
- Monte o DLT com pontos normalizados e estime H_n .
- Desnormalize:

$$H = T'^{-1} H_n T.$$

5 Resolvendo o sistema

Computacionalmente:

- Pegue o autovetor (ou vetor singular) associado ao menor valor singular de A (SVD de A).
- Reforme H (3×3) a partir de \mathbf{h} e normalize para $h_{33} = 1$.

6 Robustez com RANSAC

1. Amostre 4 pares aleatórios.
2. Compute H pelos 4 pares (passos 3–5).
3. Reprojete todos os pontos:

$$\hat{\mathbf{p}}' = H\mathbf{p}, \quad \hat{x}' = u/w, \quad \hat{y}' = v/w.$$

4. Calcule o erro:

$$e_i = \sqrt{(\hat{x}' - x'_i)^2 + (\hat{y}' - y'_i)^2}.$$

5. Classifique como inlier se $e_i \leq \tau$ (ex.: $\tau = 2-3$ px).
6. Guarde o H com maior número de inliers.
7. Reestime H final com todos os inliers.

Número de iterações (regra de bolso):

$$N \approx \frac{\log(1-p)}{\log(1-(1-\varepsilon)^s)},$$

onde p é a confiança (ex.: 0,99), $s = 4$ (amostra mínima), e ε é a fração de outliers. Exemplo: $p = 0.99$, $\varepsilon = 0.5 \Rightarrow N \approx 72$.

7 Aplicando H

- **Checagem:** projete os cantos da imagem 1 e verifique alinhamento na imagem 2.
- **Warp:** alinhe imagens com `warpPerspective` usando H (ou H^{-1} , dependendo da direção).
- **Composição:** após o warp, faça blurring/stitching simples.

8 Mini-exemplos

(A) Construção de A

Exemplo: $(x, y) = (100, 50) \rightarrow (x', y') = (220, 80)$. As duas linhas em A ficam:

$$[100, 50, 1, 0, 0, 0, -22000, -11000, -220],$$

$$[0, 0, 0, 100, 50, 1, -8000, -4000, -80].$$

(B) Uso de H (exemplo afim simples)

Se

$$H = \begin{bmatrix} 2 & 0 & 10 \\ 0 & 3 & 20 \\ 0 & 0 & 1 \end{bmatrix},$$

então $(x, y) = (5, 4)$ mapeia para:

$$\begin{bmatrix} u \\ v \\ w \end{bmatrix} = \begin{bmatrix} 2 \cdot 5 + 0 \cdot 4 + 10 \\ 0 \cdot 5 + 3 \cdot 4 + 20 \\ 1 \end{bmatrix} = \begin{bmatrix} 20 \\ 32 \\ 1 \end{bmatrix} \Rightarrow (x', y') = (20, 32).$$

9 Dicas rápidas para aula

- SIFT/ORB: a homografia usa apenas as **posições** (x, y) (escala/orientação do descritor não entram no DLT).
- Evite 4 pontos quase colineares \Rightarrow homografia instável.
- Normalização melhora bastante a precisão.
- Direção: se matches são “imagem1 \rightarrow imagem2”, então H leva 1 \rightarrow 2; para warp inverso, use H^{-1} .
- Validação: meça erro médio (ex.: < 2 px) e mostre visualmente os resultados.

10 DLT com 4 pontos: matriz A e SVD (exemplo numérico)

Correspondências (imagem 1 \rightarrow imagem 2).

$$(0, 0) \rightarrow (0, 0), \quad (1, 0) \rightarrow (2, 0), \quad (1, 1) \rightarrow (2, 1), \quad (0, 1) \rightarrow (0.2, 1).$$

Matriz A (8×9). Para cada par $(x, y) \rightarrow (x', y')$ adicionamos duas linhas:

$$\begin{bmatrix} x & y & 1 & 0 & 0 & 0 & -xx' & -yx' & -x' \end{bmatrix}, \quad \begin{bmatrix} 0 & 0 & 0 & x & y & 1 & -xy' & -yy' & -y' \end{bmatrix}.$$

Com os 4 pares acima, resulta:

$$A = \begin{bmatrix} 0 & 0 & 1 & 0 & 0 & 0 & 0 & 0 & 0 \\ 0 & 0 & 0 & 0 & 0 & 1 & 0 & 0 & 0 \\ 1 & 0 & 1 & 0 & 0 & 0 & -2 & 0 & -2 \\ 0 & 0 & 0 & 1 & 0 & 1 & 0 & 0 & 0 \\ 1 & 1 & 1 & 0 & 0 & 0 & -2 & -2 & -2 \\ 0 & 0 & 0 & 1 & 1 & 1 & -1 & -1 & -1 \\ 0 & 1 & 1 & 0 & 0 & 0 & 0 & -0.2 & -0.2 \\ 0 & 0 & 0 & 0 & 1 & 1 & 0 & -1 & -1 \end{bmatrix}.$$

SVD de A . Computamos $A = U \Sigma V^T$. Valores singulares (decrecentes, aproximados):

$$\Sigma \approx \text{diag}(5.2245, 2.6179, 1.6602, 1.4373, 1.0554, 0.7960, 0.5060, 0.3255).$$

O vetor da homografia \mathbf{h} é a **última coluna de V** (ou última linha de V^T). O vetor encontrado (antes de normalizar) é proporcional a:

$$\mathbf{h} \propto \begin{bmatrix} 0.797053397 \\ 0.0885614886 \\ 0 \\ 0 \\ 0.442807443 \\ 0 \\ 0 \\ 0.0442807443 \\ 0.398526698 \end{bmatrix}.$$

Homografia H (normalizada). Reformando \mathbf{h} em $H \in \mathbb{R}^{3 \times 3}$ e normalizando para $h_{33} = 1$:

$$H = \begin{bmatrix} 2.0000 & 0.2222 & 0 \\ 0 & 1.1111 & 0 \\ 0 & 0.1111 & 1 \end{bmatrix}.$$

Checação rápida (projeção). Para cada ponto (x, y) , compute $[u, v, w]^T = H[x, y, 1]^T$ e normalize: $(x', y') = (u/w, v/w)$.

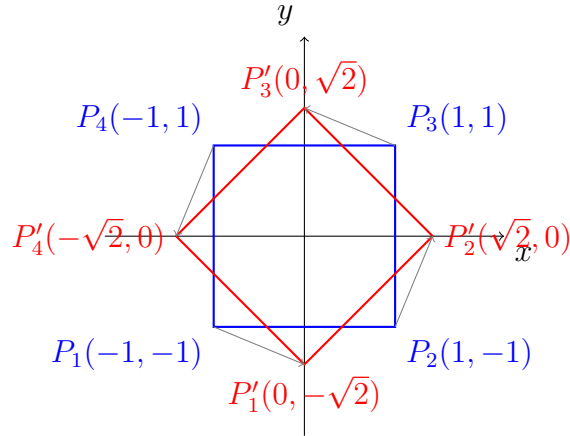
$$(0, 0) \mapsto (0, 0), \quad (1, 0) \mapsto (2, 0), \quad (1, 1) \mapsto (2, 1), \quad (0, 1) \mapsto (0.2, 1).$$

Tudo bate (diferenças apenas numéricas de ordem 10^{-16}).

11 Homografia: Exemplo Visual (Quadrado \rightarrow Quadrado Rotacionado 45°)

a) Desenho das correspondências (visual)

Escolhemos o quadrado fonte com cantos em $(-1, -1), (1, -1), (1, 1), (-1, 1)$. O quadrado alvo é o mesmo quadrado rotacionado de 45° em torno da origem: $(0, -\sqrt{2}), (\sqrt{2}, 0), (0, \sqrt{2}), (-\sqrt{2}, 0)$.



b) Pares de pontos (imagem 1 \rightarrow imagem 2)

$$\begin{aligned} P_1(-1, -1) &\rightarrow P'_1(0, -\sqrt{2}), \\ P_2(1, -1) &\rightarrow P'_2(\sqrt{2}, 0), \\ P_3(1, 1) &\rightarrow P'_3(0, \sqrt{2}), \\ P_4(-1, 1) &\rightarrow P'_4(-\sqrt{2}, 0). \end{aligned}$$

c) Montagem da matriz A (DLT)

Para cada par $(x, y) \rightarrow (x', y')$, adicionamos duas linhas a $A\mathbf{h} = 0$ (com $\mathbf{h} = [h_{11}, h_{12}, h_{13}, h_{21}, h_{22}, h_{23}, h_{31}, h_{32}, h_{33}]^T$):

$$\begin{bmatrix} x & y & 1 & 0 & 0 & 0 & -xx' & -yx' & -x' \end{bmatrix}, \quad \begin{bmatrix} 0 & 0 & 0 & x & y & 1 & -xy' & -yy' & -y' \end{bmatrix}.$$

Com os 4 pares acima, que contem $\sqrt{2}$, obtemos:

$$A = \begin{bmatrix} -1 & -1 & 1 & 0 & 0 & 0 & 0 & 0 & 0 \\ 0 & 0 & 0 & -1 & -1 & 1 & -\sqrt{2} & -\sqrt{2} & +\sqrt{2} \\ 1 & -1 & 1 & 0 & 0 & 0 & -\sqrt{2} & +\sqrt{2} & -\sqrt{2} \\ 0 & 0 & 0 & 1 & -1 & 1 & 0 & 0 & 0 \\ 1 & 1 & 1 & 0 & 0 & 0 & 0 & 0 & 0 \\ 0 & 0 & 0 & 1 & 1 & 1 & -\sqrt{2} & -\sqrt{2} & -\sqrt{2} \\ -1 & 1 & 1 & 0 & 0 & 0 & -\sqrt{2} & +\sqrt{2} & +\sqrt{2} \\ 0 & 0 & 0 & -1 & 1 & 1 & 0 & 0 & 0 \end{bmatrix}.$$

d) SVD e vetor da homografia

Compute a SVD: $A = U\Sigma V^T$. Valores singulares (aprox., decrescentes):

$$\Sigma \approx \text{diag}(3.4641, 3.2361, 3.2361, 2.0000, 2.0000, 2.0000, 1.2361, 1.2361).$$

O vetor da homografia \mathbf{h} é a **última coluna de V** (associada ao menor singular). O resultado (antes de normalizar) foi proporcional a:

$$\mathbf{h} \propto \begin{bmatrix} 0.40824829 \\ -0.40824829 \\ 0 \\ 0.40824829 \\ 0.40824829 \\ 0 \\ 0 \\ 0 \\ 0.57735027 \end{bmatrix}.$$

e) Homografia H (normalizada com $h_{33} = 1$)

Reformando \mathbf{h} em $H \in \mathbb{R}^{3 \times 3}$ e dividindo por h_{33} :

$$H = \begin{bmatrix} \frac{\sqrt{2}}{2} & -\frac{\sqrt{2}}{2} & 0 \\ \frac{\sqrt{2}}{2} & \frac{\sqrt{2}}{2} & 0 \\ 0 & 0 & 1 \end{bmatrix} \approx \begin{bmatrix} 0.7071 & -0.7071 & 0 \\ 0.7071 & 0.7071 & 0 \\ 0 & 0 & 1 \end{bmatrix}.$$

f) Checagem (projeção)

Para cada ponto (x, y) , compute $[u, v, w]^T = H[x, y, 1]^T$ e normalize: $(x', y') = (u/w, v/w)$.

$$\begin{aligned} (-1, -1) &\mapsto (0, -\sqrt{2}), & (1, -1) &\mapsto (\sqrt{2}, 0), \\ (1, 1) &\mapsto (0, \sqrt{2}), & (-1, 1) &\mapsto (-\sqrt{2}, 0). \end{aligned}$$

Tudo confere (diferenças apenas de arredondamento numérico).

g) Observações

- Este exemplo é uma **semelhança** (rotação pura) — um caso particular de homografia (linha inferior $[0, 0, 1]$).
- Em cenas não-planas com translação, uma homografia global não explica todos os pontos (paralaxe).
- Normalização (centrar & escalar) melhora a estabilidade do DLT; ao final, desnormalize com $H = T'^{-1}H_nT$.